



ИПМ им.М.В.Келдыша РАН • Электронная библиотека

Препринты ИПМ • Препринт № 61 за 2015 г.



ISSN 2071-2898 (Print)
ISSN 2071-2901 (Online)

Нуралиева А.Б., Ткачев С.С.

Математическая модель
спутника с гибкой солнечной
панелью на управляемом
шарнире

Рекомендуемая форма библиографической ссылки: Нуралиева А.Б., Ткачев С.С. Математическая модель спутника с гибкой солнечной панелью на управляемом шарнире // Препринты ИПМ им. М.В.Келдыша. 2015. № 61. 19 с.
URL: <http://library.keldysh.ru/preprint.asp?id=2015-61>

**Ордена Ленина
ИНСТИТУТ ПРИКЛАДНОЙ МАТЕМАТИКИ
имени М.В.Келдыша
Российской академии наук**

А.Б. Нуралиева, С.С. Ткачев

**Математическая модель спутника
с гибкой солнечной панелью
на управляемом шарнире**

Москва — 2015

А.Б.Нуралиева, С.С.Ткачев

Математическая модель спутника с гибкой солнечной панелью на управляемом шарнире

Рассматривается математическая модель спутника с деформируемой солнечной панелью на одностепенном шарнире. Получены нелинейные и линеаризованные уравнения. Проведена верификация модели с помощью первых интегралов и с помощью собственных частот колебаний.

Ключевые слова: деформируемый элемент, нормальная форма колебаний, верификация модели

Anna Nuralieva, Stepan Tkachev

Mathematical model for a satellite with flexible 1DOF hinged solar panel

Mathematical model of a satellite with flexible 1DOF hinged solar panel is considered. Nonlinear and linearized equations are derived. Model verification using first integrals of motion and normal modes is carried out.

Key words: flexible element, normal mode, model verification

Работа выполнена при поддержке Российского научного фонда проект № 14-11-00621.

Введение

При моделировании углового движения спутников с протяженными элементами часто бывает необходимым включать в математическую модель деформацию конструкции. Эти деформации могут оказывать на угловое движение значительное влияние, что приводит к необходимости учитывать их при формировании и реализации управления.

Для проведения моделирования и верификации алгоритмов управления ориентацией космических аппаратов необходимо создать нелинейную математическую модель, которая бы позволила учитывать наличие нескольких упругих элементов, закрепленных шарнирно.

При построении математической модели возможны два подхода: дополнить уравнения движения спутника уравнениями в частных производных [1], [2] или использовать конечномерный подход [3], [4], [5]. Первый вариант может оказаться неприемлемым из-за большой вычислительной сложности и трудности адаптации в будущем для бортовой модели. В этом случае второй вариант оказывается более предпочтительным.

Конечномерная модель использует собственные моды колебаний, которые определяются однократным моделированием методом конечных элементов, когда нежесткие элементы зафиксированы. В случае достаточно медленного вращения одного или нескольких таких элементов относительно основного тела спутника (например, солнечная панель, отслеживающая направление на Солнце на геостационарной орбите) систему можно считать квазистационарной. В этом случае представляется допустимым провести серию вычислений мод собственных колебаний с различными углами поворота и использовать такую модель с разными параметрами. Если вращение нельзя считать медленным, то его необходимо учитывать непосредственно в математической модели. Этому и посвящена настоящая работа.

Рассматривается подход, при котором для описания деформаций используются собственные моды отдельно зафиксированного нежесткого элемента [6], а затем эти моды уже используются в уравнениях движения всей системы в целом.

Постановка задачи и системы координат

Рассматривается связка двух тел (рис.1): основное тело спутника S (полагается твердым телом) и солнечная панель P (считается деформируемым телом). Тела соединены невесомым шарниром с одной степенью свободы.

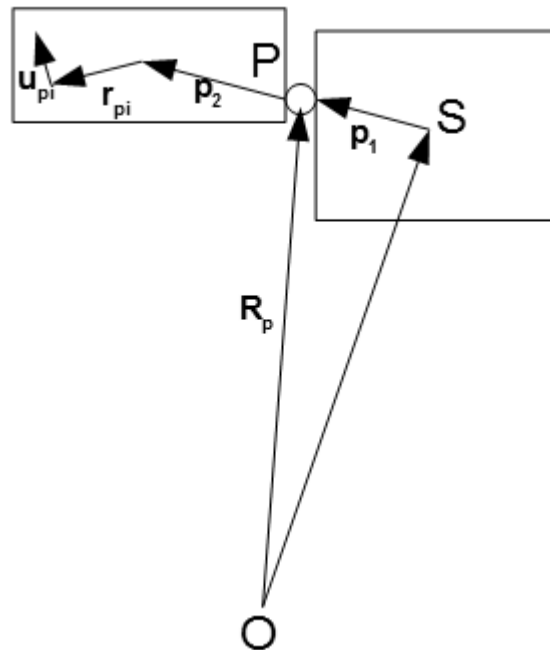


Рис.1. Схематичное изображение спутника с панелью

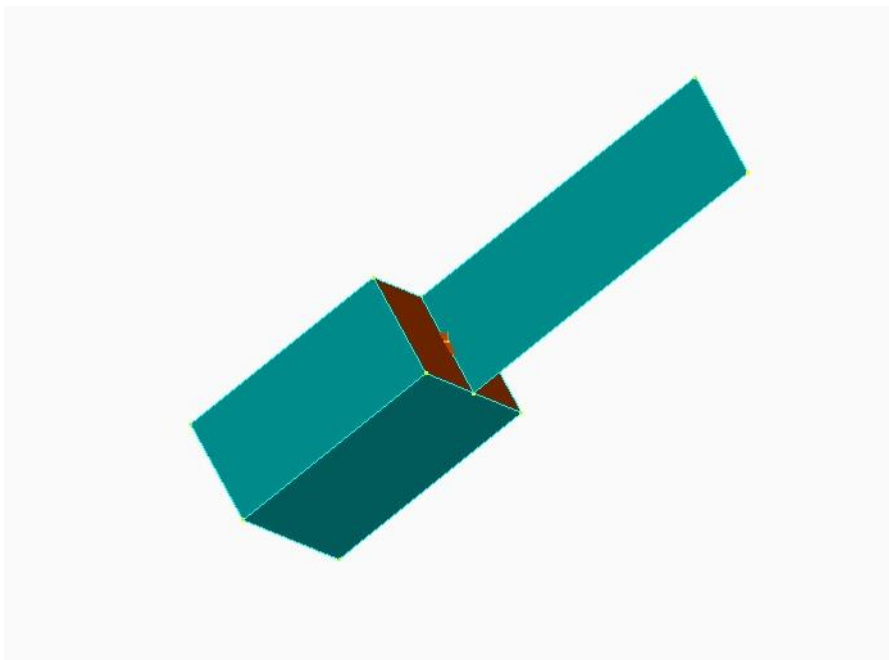


Рис.2. Модель спутника с панелью

На рис.1 векторы \mathbf{p}_1 и \mathbf{p}_2 определяют положение точки крепления относительно центра масс спутника и панели.

В работе используются следующие правые ортогональные системы координат:

$OXYZ$ – кенигова система координат, ее начало лежит в центре масс Земли, ось OZ перпендикулярна плоскости экватора, OX направлена на точку весеннего равноденствия;

O_sxyz – связанная с корпусом спутника система координат, ее начало лежит в центре масс корпуса спутника, оси – его главные центральные оси;

$O_px_py_pz_p$ – связанная с панелью система координат, ее начало помещается в точке крепления к шарниру, оси – главные оси инерции для недеформированной панели;

$O_p\xi\eta\zeta$ – связанная с шарниром система координат, ось $O_p\xi$ – ось поворота в шарнире, две другие перпендикулярны ей.

Последовательность переходов между системами координат такова:

$$OXYZ \rightarrow O_sxyz \rightarrow O_p\xi\eta\zeta \rightarrow O_px_py_pz_p.$$

Положения i -ых точек спутника и панели, соответственно, задаются (рис.1) векторами

$$\mathbf{R}_{si} = \mathbf{R}_s + \mathbf{r}_{si},$$

$$\mathbf{R}_{pi} = \mathbf{R}_p + \mathbf{r}_{pi} + \mathbf{u}_{pi},$$

где \mathbf{R}_s , \mathbf{R}_p – радиус-векторы выделенных точек соответствующих тел (их естественно задавать в $OXYZ$); \mathbf{r}_{si} , \mathbf{r}_{pi} – радиус-векторы i -ых точек соответствующего тела относительно связанной с этим телом системы координат, начало которых помещено в точки, указанные на рис.1 тела; \mathbf{u}_{pi} – смещения i -ых точек тела, вызванные упругими деформациями (они задаются в связанной с соответствующим телом системе координат).

Модель движения

Подробный вывод уравнений для более сложной системы (спутник с упругими панелью на шарнире и антенной) выполнен в [6]. Здесь приведем лишь сами уравнения и принятые в них обозначения

$$\begin{aligned} & \mathbf{J}\dot{\boldsymbol{\omega}} + \mathbf{S}_{\omega\phi} \mathbf{e}\psi + \mathbf{S}_{\omega p} \ddot{\mathbf{q}}_p + \boldsymbol{\omega} \times \mathbf{J}\boldsymbol{\omega} + 2 \sum_i (\mathbf{r}_{pi} + \mathbf{u}_{pi}) \times m_{pi} \boldsymbol{\omega}_2 \times \dot{\mathbf{u}}_{pi} + \\ & + \tilde{\mathbf{J}}_p (\boldsymbol{\omega} \times \mathbf{e}\psi) + \boldsymbol{\omega} \times \tilde{\mathbf{J}}_p \mathbf{e}\psi + \mathbf{e}\psi \times \tilde{\mathbf{J}}_p \boldsymbol{\omega} + \mathbf{e}\psi \times \tilde{\mathbf{J}}_p \mathbf{e}\psi + \\ & + m_p \left(\mathbf{p}_1 - \frac{1}{m} (m_p \mathbf{p} + m_p \tilde{\mathbf{p}}_2) \right) \times (2\boldsymbol{\omega} \times \mathbf{e}\psi \times (\mathbf{p}_2 + \tilde{\mathbf{p}}_2) + \\ & + \mathbf{e}\psi \times \mathbf{e}\psi \times (\mathbf{p}_2 + \tilde{\mathbf{p}}_2) + 2\boldsymbol{\omega}_2 \times \dot{\tilde{\mathbf{p}}}_2) + \mathbf{f}_p - \mathbf{T}_s = 0, \end{aligned}$$

$$\begin{aligned}
& \mathbf{e}^T \mathbf{S}_{\omega\phi}^T \dot{\boldsymbol{\omega}} + \mathbf{e}^T \mathbf{J}_e \mathbf{e} \dot{\psi} + \mathbf{e}^T \mathbf{S}_{\phi p}^T \ddot{\mathbf{q}}_p + \\
& + \mathbf{e}^T \left\{ \boldsymbol{\omega} \times \tilde{\mathbf{J}}_p \boldsymbol{\omega} + \left(m_p \mathbf{p}_2 + \sum_i m_{pi} \mathbf{A}_{pi} \mathbf{q}_p \right) \times \boldsymbol{\omega} \times \boldsymbol{\omega} \times \mathbf{p}_1 - \frac{1}{m} \left(m_p \mathbf{p}_2 + \sum_i m_{pi} \mathbf{A}_{pi} \mathbf{q}_p \right) \times \right. \\
& \times \boldsymbol{\omega} \times \boldsymbol{\omega} \times \left(m_p \mathbf{p} + \sum_i m_{pi} \mathbf{A}_{pi} \mathbf{q}_p \right) + \mathbf{e} \psi \times \mathbf{J}_e \mathbf{e} \psi + \tilde{\mathbf{J}}_p (\boldsymbol{\omega} \times \mathbf{e} \psi) + \boldsymbol{\omega} \times \tilde{\mathbf{J}}_p \mathbf{e} \psi + \\
& + \mathbf{e} \psi \times \tilde{\mathbf{J}}_p \boldsymbol{\omega} + 2 \sum_i (\mathbf{r}_{pi} + \mathbf{u}_{pi}) \times m_{pi} (\boldsymbol{\omega}_2 \times \dot{\mathbf{u}}_{pi}) - \left(m_p \mathbf{p}_2 + \sum_i m_{pi} \mathbf{A}_{pi} \mathbf{q}_p \right) \times \\
& \times \left(\frac{2}{m} \boldsymbol{\omega} \times \mathbf{e} \psi \times \left(m_p \mathbf{p}_2 + \sum_i m_{pi} \mathbf{A}_{pi} \mathbf{q}_p \right) + \frac{2}{m} \boldsymbol{\omega}_2 \times \sum_i m_{pi} \mathbf{A}_{pi} \dot{\mathbf{q}}_p \right) + \\
& \left. + \mathbf{f}_p \right\} = M_e, \tag{1}
\end{aligned}$$

$$\begin{aligned}
& \mathbf{S}_{\omega p}^T \dot{\boldsymbol{\omega}} + \mathbf{S}_{\phi p}^T \mathbf{e} \dot{\phi} + \mathbf{M}_p \ddot{\mathbf{q}}_p + \\
& + \sum_i m_{pi} \mathbf{A}_{pi}^T \boldsymbol{\omega} \times \boldsymbol{\omega} \times \left(\mathbf{r}_{pi} + \mathbf{A}_{pi} \mathbf{q}_p + \mathbf{p}_1 - \frac{1}{m} \left(m_p \mathbf{p} + \sum_i m_{pi} \mathbf{A}_{pi} \mathbf{q}_p \right) \right) + \\
& + \sum_i m_{pi} \mathbf{A}_{pi}^T \mathbf{e} \dot{\phi} \times \mathbf{e} \dot{\phi} \times \left(\mathbf{r}_{pi} + \mathbf{A}_{pi} \mathbf{q}_p - \frac{1}{m} \left(m_p \mathbf{p}_2 + \sum_i m_{pi} \mathbf{A}_{pi} \mathbf{q}_p \right) \right) + \\
& + 2 \sum_i m_{pi} \mathbf{A}_{pi}^T \boldsymbol{\omega} \times \mathbf{e} \dot{\phi} \times \left(\mathbf{r}_{pi} + \mathbf{A}_{pi} \mathbf{q}_p - \frac{1}{m} \left(m_p \mathbf{p}_2 + \sum_i m_{pi} \mathbf{A}_{pi} \mathbf{q}_p \right) \right) + \\
& + 2 \sum_i m_{pi} \mathbf{A}_{pi}^T \boldsymbol{\omega}_2 \times \left(\mathbf{A}_{pi} \dot{\mathbf{q}}_p - \frac{1}{m} \left(\sum_i m_{pi} \mathbf{A}_{pi} \dot{\mathbf{q}}_p \right) \right) + \\
& + \mathbf{f}_{qp} + \sum_i m_{pi} \mathbf{A}_{pi}^T \mathbf{A}_{pi} \boldsymbol{\Omega} \mathbf{q}_p = 0,
\end{aligned}$$

$$\dot{\mathbf{q}} = \frac{1}{2} \boldsymbol{\omega} \circ \mathbf{q}, \quad \dot{\phi} = \psi,$$

где

$$\begin{aligned}
\mathbf{S}_{\omega p} &= \sum_i (\mathbf{p}_1 + \mathbf{r}_{pi} + \mathbf{A}_{pi} \mathbf{q}_p) \times m_{pi} \mathbf{A}_{pi} - \frac{1}{m} \left(m_p \mathbf{p} + \sum_i m_{pi} \mathbf{A}_{pi} \mathbf{q}_p \right) \times \sum_i m_{pi} \mathbf{A}_{pi}, \\
\tilde{\mathbf{J}}_p &= \sum_i \mathbf{K}(\mathbf{r}_{pi} + \mathbf{A}_{pi} \mathbf{q}_p, \mathbf{r}_{pi} + \mathbf{A}_{pi} \mathbf{q}_p),
\end{aligned}$$

$$\mathbf{S}_{\omega\varphi} = \tilde{\mathbf{J}}_p - \frac{1}{m} \mathbf{K} \left(m_p \mathbf{p} + \sum_i m_{pi} \mathbf{A}_{pi} \mathbf{q}_p, m_p \mathbf{p}_2 + \sum_i m_{pi} \mathbf{A}_{pi} \mathbf{q}_p \right) + \mathbf{K} \left(\mathbf{p}_1, m_p \mathbf{p}_2 + \sum_i m_{pi} \mathbf{A}_{pi} \mathbf{q}_p \right),$$

$$\begin{aligned} \mathbf{J} = & \mathbf{J}_s + \tilde{\mathbf{J}}_p + \mathbf{K}(\mathbf{p}_1, m_p \mathbf{p}_1) + \mathbf{K} \left(\mathbf{p}_1, m_p \mathbf{p}_2 + \sum_i m_{pi} \mathbf{A}_{pi} \mathbf{q}_p \right) \\ & + \mathbf{K} \left(m_p \mathbf{p}_2 + \sum_i m_{pi} \mathbf{A}_{pi} \mathbf{q}_p, \mathbf{p}_1 \right) - \frac{1}{m} \mathbf{K} \left(m_p \mathbf{p} + \sum_i m_{pi} \mathbf{A}_{pi} \mathbf{q}_p, m_p \mathbf{p} + \sum_i m_{pi} \mathbf{A}_{pi} \mathbf{q}_p \right), \end{aligned}$$

$$\mathbf{J}_e = \left(\tilde{\mathbf{J}}_p - \frac{1}{m} \mathbf{K} \left(m_p \mathbf{p}_2 + \sum_i m_{pi} \mathbf{A}_{pi} \mathbf{q}_p, m_p \mathbf{p}_2 + \sum_i m_{pi} \mathbf{A}_{pi} \mathbf{q}_p \right) \right),$$

$$\mathbf{S}_{\varphi p} = \sum_i (\mathbf{r}_{pi} + \mathbf{A}_{pi} \mathbf{q}_p) \times m_{pi} \mathbf{A}_{pi} - \frac{1}{m} \left(m_p \mathbf{p}_2 + \sum_i m_{pi} \mathbf{A}_{pi} \mathbf{q}_p \right) \times \sum_i m_{pi} \mathbf{A}_{pi},$$

$$\mathbf{M}_p = \sum_i m_{pi} \mathbf{A}_{pi}^T \mathbf{A}_{pi} - \frac{1}{m} \sum_i m_{pi} \mathbf{A}_{pi}^T \sum_i m_{pi} \mathbf{A}_{pi},$$

$$\tilde{\mathbf{p}}_2 = \frac{\sum_i m_{pi} \mathbf{A}_{pi} \mathbf{q}_p}{m_p},$$

$$\mathbf{f}_p = m_p \left(\frac{\mathbf{F}_0^{603M}}{m} - \frac{\mathbf{F}_p^{603M}}{m_p} \right) + m_p \mu \left(\frac{\Delta \mathbf{R}_p}{R_0^3} - \frac{3\mathbf{R}_0(\mathbf{R}_0, \Delta \mathbf{R}_p)}{R_0^3} \right) - \mathbf{p}_1 \times \sum_i \Delta \mathbf{F}_{pi} - \mathbf{T}_p,$$

$$\mathbf{f}_{\varphi p} = \sum_i m_{pi} \mathbf{A}_{pi}^T \mu \left(\frac{\Delta \mathbf{R}_{pi}}{R_0^3} - \frac{3\mathbf{R}_0(\mathbf{R}_0, \Delta \mathbf{R}_{pi})}{R_0^3} \right) + \left(\sum_i m_{pi} \mathbf{A}_{pi}^T \right) \frac{\mathbf{F}_0^{603M}}{m} - \sum_i m_{pi} \mathbf{A}_{pi}^T \mathbf{F}_{pi}^{603M}.$$

Угловое движение спутника определяется кватернионом ориентации \mathbf{q} и вектором угловой скорости $\boldsymbol{\omega}$. Относительное угловое движение панели задается углом поворота в шарнире φ и угловой скоростью ψ . В качестве фазовых переменных, описывающих деформации панели, используются амплитуды ее собственных колебаний. Матрица $\boldsymbol{\Omega}$ – матрица квадратов собственных частот колебаний. Матрица \mathbf{K} обозначает двойное векторное произведение

$$\mathbf{a} \times (\mathbf{y} \times \mathbf{b}) = \mathbf{K}(\mathbf{a}, \mathbf{b}) \mathbf{y}, \quad \mathbf{K}(\mathbf{a}, \mathbf{b}) = \begin{pmatrix} a_2 b_2 + a_3 b_3 & -a_2 b_1 & -a_3 b_1 \\ -a_1 b_2 & a_1 b_1 + a_3 b_3 & -a_3 b_2 \\ -a_1 b_3 & -a_2 b_3 & a_1 b_1 + a_2 b_2 \end{pmatrix}.$$

Приведенная система уравнений содержит суммирование по всем точкам деформируемого тела. Для достижения приемлемой точности необходимо

разбиение этого тела на большое количество точек. С другой стороны, величины \mathbf{A}_{pi} не зависят от времени (они зависят от свойств самой моды и могут быть определены методом конечных элементов), поэтому просуммировать по всем точкам достаточно только один раз. При этом необходимо учитывать, что величины \mathbf{A}_{pi} задаются в системе координат $O_p x_p y_p z_p$.

Верификация модели

Верификация полученной модели проводится в несколько этапов. На первом этапе проверяется выполнение законов сохранения кинетического момента и полной энергии системы. На втором – результаты конечно элементного моделирования в среде Nastran [7] сравниваются с результатами моделирования с помощью полученной модели. В этом случае в качестве критерия идентичности моделей используется равенство собственных частот колебаний линеаризованной системы, рассчитанных разными способами.

Проверка выполнения законов сохранения

Известно, что в замкнутой системе сохраняется кинетический момент, а при отсутствии диссипативных сил и моментов – полная энергия системы. Для этого при моделировании полагается, что $\mathbf{f}_p = \mathbf{f}_{qp} = \mathbf{T}_s = 0$ и $M_e = 0$.

Кинетический момент для такой системы записывается в виде суммы кинетических моментов основного тела спутника \mathbf{L}_s и панели \mathbf{L}_p и вычисляется относительно общего центра масс:

$$\mathbf{L} = \mathbf{L}_s + \mathbf{L}_p,$$

где

$$\mathbf{L}_s = \mathbf{J}_s \boldsymbol{\omega} - \frac{m_s m_p}{m} \mathbf{p}_1 + \mathbf{p}_2 + \tilde{\mathbf{p}}_2 \times \mathbf{V}_s,$$

$$\begin{aligned} \mathbf{L}_s = & \tilde{\mathbf{J}}_p \boldsymbol{\omega} + \mathbf{e}\psi + \frac{m_s m_p}{m} \mathbf{p}_1 + \mathbf{p}_2 + \tilde{\mathbf{p}}_2 \times \mathbf{V}_s + \boldsymbol{\omega} \times \mathbf{p}_1 + \\ & + m_p \left(\mathbf{p}_1 - \frac{m_s m_p}{m} \mathbf{p}_1 + \mathbf{p}_2 + \tilde{\mathbf{p}}_2 \right) \times \boldsymbol{\omega} + \mathbf{e}\psi \times \mathbf{p}_2 + \tilde{\mathbf{p}}_2 + \dot{\tilde{\mathbf{p}}}_2 + \sum_i m_{pi} \mathbf{r}_{pi} + \mathbf{A}_i \mathbf{q} \times \mathbf{A}_i \dot{\mathbf{q}}_p. \end{aligned}$$

В итоге,

$$\begin{aligned} \mathbf{L} = & \mathbf{J}_s \boldsymbol{\omega} + \frac{m_s m_p}{m} \mathbf{p}_1 + \mathbf{p}_2 + \tilde{\mathbf{p}}_2 \times \boldsymbol{\omega} \times \mathbf{p}_1 + \sum_i m_{pi} \mathbf{r}_{pi} + \mathbf{A}_i \mathbf{q} \times \mathbf{A}_i \dot{\mathbf{q}}_p + \\ & + \tilde{\mathbf{J}}_p \boldsymbol{\omega} + \mathbf{e}\psi + m_p \left(\mathbf{p}_1 - \frac{m_s m_p}{m} \mathbf{p}_1 + \mathbf{p}_2 + \tilde{\mathbf{p}}_2 \right) \times \boldsymbol{\omega} + \mathbf{e}\psi \times \mathbf{p}_2 + \tilde{\mathbf{p}}_2 + \dot{\tilde{\mathbf{p}}}_2 . \end{aligned} \quad (2)$$

Так как предполагается, что на систему не действуют внешние силы, то полная энергия состоит из кинетической энергии системы и потенциальной энергии деформации. Кинетическая энергия записывается в виде

$$\begin{aligned} T = & \frac{1}{2} m \mathbf{V}_C^2 + \frac{1}{2} \boldsymbol{\omega}^T \mathbf{J}_s \boldsymbol{\omega} + \frac{1}{2} \boldsymbol{\omega} + \mathbf{e}\psi^T \tilde{\mathbf{J}}_p \boldsymbol{\omega} + \mathbf{e}\psi + \frac{1}{2} \dot{\mathbf{q}}^T \mathbf{M} \dot{\mathbf{q}} + \frac{1}{2} m_p \boldsymbol{\omega} \times \mathbf{p}_1^2 + \\ & + \boldsymbol{\omega} + \mathbf{e}\psi^T \sum_i m_{pi} \mathbf{r}_{pi} + \mathbf{A}_i \mathbf{q}_p \times \mathbf{A}_i \dot{\mathbf{q}}_p + m_p \boldsymbol{\omega} \times \mathbf{p}_1^T \boldsymbol{\omega} + \mathbf{e}\psi \times \mathbf{p}_2 + \tilde{\mathbf{p}}_2 + \dot{\tilde{\mathbf{p}}}_2 - \\ & - \frac{1}{2} \frac{m_p^2}{m} \boldsymbol{\omega} \times \mathbf{p}_1 + \boldsymbol{\omega} + \mathbf{e}\psi \times \mathbf{p}_2 + \tilde{\mathbf{p}}_2 + \dot{\tilde{\mathbf{p}}}_2^2 , \end{aligned}$$

а потенциальная [3]

$$\Pi = \frac{1}{2} \mathbf{q}_p \boldsymbol{\Omega} \mathbf{q}_p .$$

Полная энергия E в итоге определяется их суммой,

$$E = T + \Pi . \quad (3)$$

Величины, определяемые формулами (2), (3), вычисляются при численном интегрировании. Оно проводится для системы со следующими параметрами:

$$\mathbf{m}_s = 3495 \text{ кг}, \quad \mathbf{m}_p = 349.5 \text{ кг}, \quad \mathbf{p}_1 = 0 \quad 1 \quad 0 \text{ м}, \quad \mathbf{p}_2 = 0 \quad 1.5 \quad 0 \text{ м},$$

$$\begin{aligned} \mathbf{J}_p = & \begin{pmatrix} 1038.05 & 0 & 0 \\ 0 & 29.1263 & 0 \\ 0 & 0 & 1067.17 \end{pmatrix} \text{ кг} \cdot \text{м}^2, \\ \mathbf{J}_s = & \begin{pmatrix} 1817.92 & -0.0024 & -0.0103 \\ -0.0024 & 944.278 & 0.0038 \\ -0.0103 & 0.0038 & 1453.89 \end{pmatrix} \text{ кг} \cdot \text{м}^2 \end{aligned} \quad (4)$$

и начальными условиями (рассматривается одна мода деформации)

$$\boldsymbol{\omega} = (0.1 \quad 0.1 \quad 0.1) \frac{\text{град}}{\text{сек}}, \quad \mathbf{q} = (1 \quad 0 \quad 0 \quad 0), \quad \varphi = 0, \quad \psi = 0, \quad q_1 = 1, \quad \dot{q}_1 = 0 .$$

При этом частота этой моды $\nu_1 = 7.63 \text{ Гц}$ (определялась путем конечно-элементного моделирования). На рисунках 3-8 ниже приведены результаты

вычислений для компонент вектора кинетического момента и для полной энергии при различных шагах интегрирования.

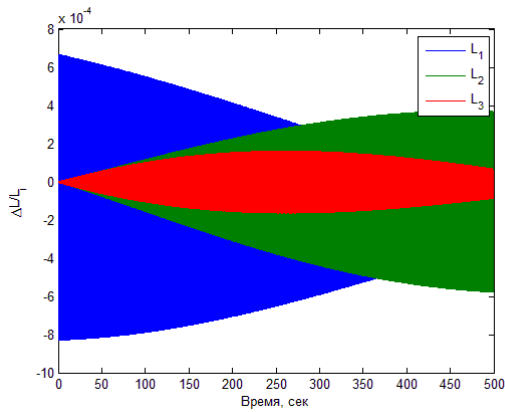


Рис 3. Относительная ошибка разницы компонент начального кинетического момента и текущего значения (шаг интегрирования 0.005 сек)

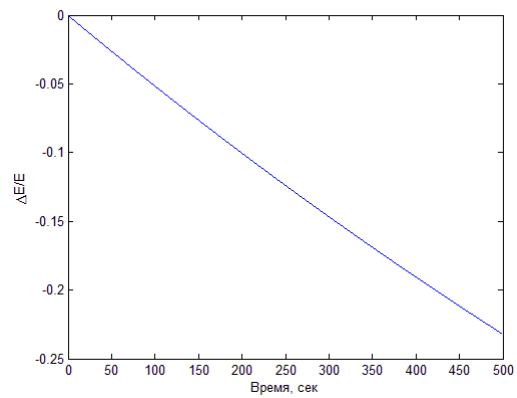


Рис 4. Относительная ошибка разницы начального и текущего значения полной энергии (шаг интегрирования 0.005 сек)

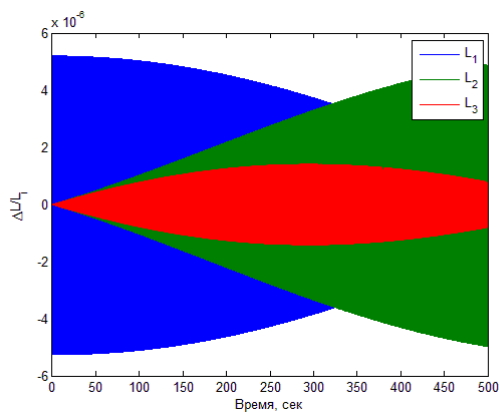


Рис 5. Относительная ошибка разницы компонент начального кинетического момента и текущего значения (шаг интегрирования 0.001 сек)

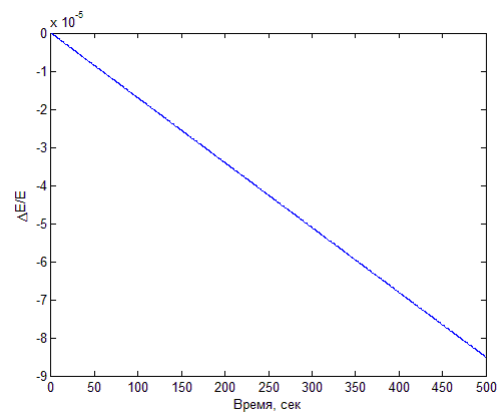


Рис 6. Относительная ошибка разницы начального и текущего значения полной энергии (шаг интегрирования 0.001 сек)

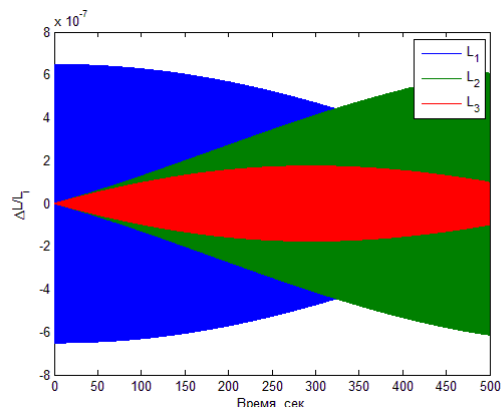


Рис 7. Относительная ошибка разницы компонент начального кинетического момента и текущего значения (шаг интегрирования 0.0005 сек)

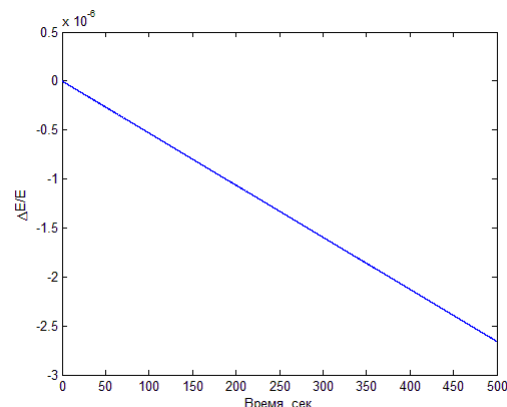


Рис 8. Относительная ошибка разницы начального и текущего значения полной энергии (шаг интегрирования 0.0005 сек)

Из рисунков видно, что при уменьшении шага интегрирования ошибка уменьшается. При этом требование к малости шага связано, в первую очередь, с большим значением частоты и отсутствием демпфирования.

Сравнение собственных мод колебаний

Для определения собственных мод колебаний необходимо линеаризовать уравнения движения (1) в окрестности положения $\boldsymbol{\omega} = 0$, $\mathbf{q} = 1 \ 0 \ 0 \ 0$, $\dot{\mathbf{q}}_p = 0$, $\mathbf{q}_p = 0$. При этом для простоты расчетов в среде Nastran полагается, что $\psi = 0$ и $\varphi = const$. В этом случае уравнения движения запишутся в виде (линейные вариации обозначаются так же, как и сами переменные)

$$\begin{aligned} \mathbf{J}\dot{\boldsymbol{\omega}} + \mathbf{S}_{\omega p}\ddot{\mathbf{q}}_p &= 0, \\ \mathbf{S}_{\omega p}^T\dot{\boldsymbol{\omega}} + \mathbf{M}_p\ddot{\mathbf{q}}_p + \sum_i m_{pi}\mathbf{A}_{pi}^T\mathbf{A}_{pi}\boldsymbol{\Omega}\mathbf{q}_p &= 0, \end{aligned} \quad (5)$$

где

$$\mathbf{S}_{\omega p} = \sum_i (\mathbf{p}_1 + \mathbf{r}_{pi}) \times m_{pi}\mathbf{A}_{pi} - \frac{1}{m}m_p\mathbf{p} \times \sum_i m_{pi}\mathbf{A}_{pi},$$

$$\mathbf{J} = \mathbf{J}_s + \tilde{\mathbf{J}}_p + \mathbf{K}(\mathbf{p}_1, m_p\mathbf{p}_1) + \mathbf{K}(\mathbf{p}_1, m_p\mathbf{p}_2) + \mathbf{K}(m_p\mathbf{p}_2, \mathbf{p}_1) - \frac{1}{m}\mathbf{K}(m_p\mathbf{p}, m_p\mathbf{p}),$$

$$\mathbf{M}_p = \sum_i m_{pi}\mathbf{A}_{pi}^T\mathbf{A}_{pi} - \frac{1}{m}\sum_i m_{pi}\mathbf{A}_{pi}^T \sum_i m_{pi}\mathbf{A}_{pi}.$$

Уравнения (5) используются для сравнения результатов численного моделирования, выполненного в среде Nastran, и аналитических расчетов. Собственные частоты определяются из уравнения частот

$$\det \left(\begin{pmatrix} 0 & 0 \\ 0 & \mathbf{\Omega} \end{pmatrix} - \lambda \begin{pmatrix} \mathbf{J} & \mathbf{S}_{\omega p} \\ \mathbf{S}_{\omega p} & \mathbf{M} \end{pmatrix} \right) = 0.$$

Полученные с помощью модели собственные частоты сравниваются с теми, что получаются в результате моделирования методом конечных элементов в среде Nastran по схеме, представленной на рис.9.

Моделирование в среде Nastran

При моделировании рассматриваются четыре системы: деформируемая панель с жестко закрепленной в нескольких точках стороной и спутник с той же панелью и аналогичным креплением в трех различных положениях ($\varphi=0$, $\varphi=\pi/4$, $\varphi=\pi/2$). В ходе моделирования определяются собственные частоты колебаний, а для первой системы вычисляются также величины, входящие в уравнения движения (1).

Спутник моделируется параллелепипедом с размерами 1 м по оси $O_s x$, 2 м по $O_s y$ и 1.5 м по $O_s z$. Панель – плоским прямоугольником со сторонами 1 м по $O_p x_p$ и 3 м по $O_p y_p$ (рис. 2).

Параметры материала пластины заданы следующие: модуль Юнга $109 \cdot 10^9 \text{ Па}$, коэффициент Пуассона 0.266, плотность 2330 кг/м^3 , что примерно соответствует кремнию. Параметры материала спутника были выбраны так, чтобы спутник был тяжелее пластины в 10 раз, т.е. плотность 1165 кг/м^3 . Модуль Юнга и коэффициент Пуассона заданы, соответственно, как $2 \cdot 10^{12} \text{ Па}$ и 0.3.

Рассматриваются три модели для пластины со спутником: первая – со стандартным расположением пластины, вторая – с пластиной, повернутой на $\pi/4$, и, наконец, третья – с пластиной, повернутой на $\pi/2$. Также была создана модель одиночной пластины (рис.10).

В случае панели со спутником моделируемая пластина крепится на участке длиной 0.2 м, расположенном посередине короткой стороны (рис.2). Этот участок «приклеен» (то есть крепление не имеет степеней свободы) к поверхности параллелепипеда-спутника. В случае панели без спутника тот же участок пластины длиной 0.2 м неподвижно закреплен.

Начало координат находится в центре спутника. Точка крепления пластины имеет координаты $(0,1,0)$. Нижнее ребро пластины касается верхней грани спутника.

Количество точек разбиения увеличивалось, пока результаты расчета не стабилизировались (т.е. не стали меняться мало с дальнейшим увеличением). Для параллелепипеда (недеформируемого тела спутника) было выбрано разбиение $20 \times 20 \times 20$ (т.е. каждое ребро разбивалась на 20 частей), для панели – 200×600 (т.е. ребро, ориентированное вдоль оси $O_p x_p$, разбивалось на 200 частей, вдоль оси $O_p y_p$ – на 600). Для пластины без спутника разбиение такое же – 200×600 .

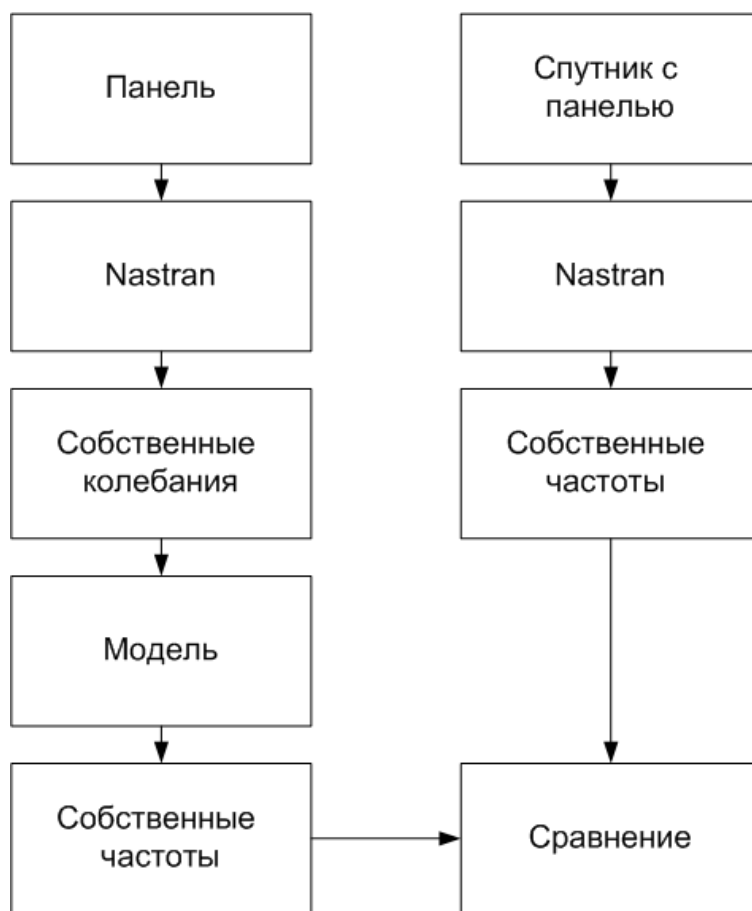


Рис. 9. Сравнение собственных частот колебаний

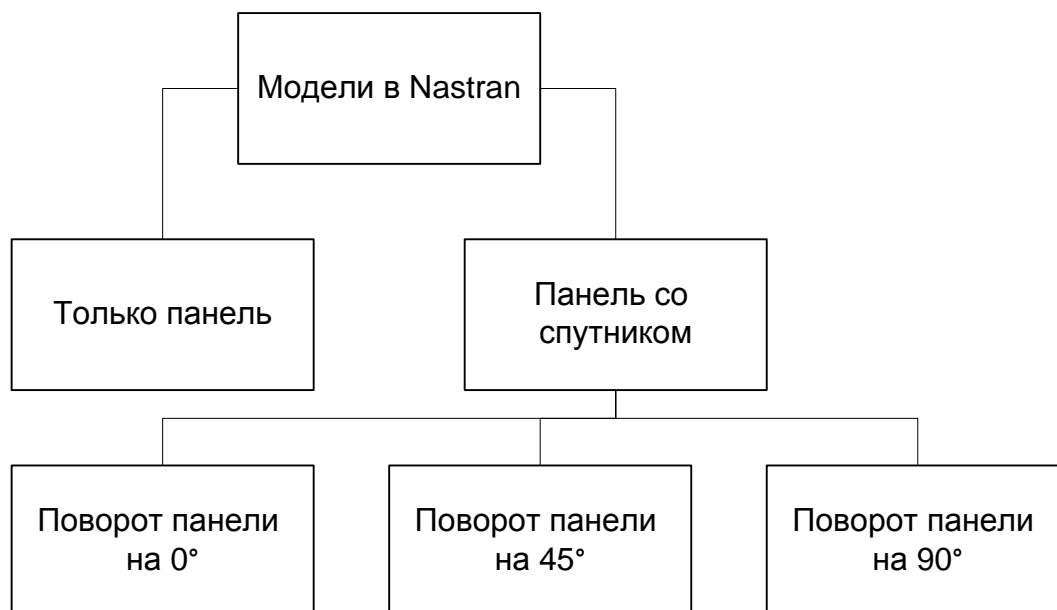


Рис. 10. Схема моделей в Nastran

Результаты моделирования приведены в таблице 1.

Таблица 1

Частоты собственных колебаний (Гц)

Номер моды	Закрепленная панель	Спутник с панелью $\varphi = 0$		Спутник с панелью $\varphi = \pi/4$		Спутник с панелью $\varphi = \pi$	
		Nastran	Модель	Nastran	Модель	Nastran	Модель
1	5.2487	7.6310	7.6311	7.8223	7.8234	8.0301	8.0316
2	32.057	32.393	32.483	32.378	32.483	32.361	32.483
3	33.256	36.063	36.068	36.195	36.203	36.364	36.370
4	34.485	52.679	53.148	51.235	51.679	49.722	50.137
5	98.195	99.381	99.420	99.488	99.533	99.596	99.643
6	100.90	100.78	101.03	100.73	101.03	100.69	101.02
7	181.44	181.11	181.51	181.04	181.51	180.97	181.51
8	190.81	191.90	192.06	191.98	192.17	192.07	192.28
9	277.50	276.98	277.54	276.89	277.54	276.79	277.54
10	294.77	295.27	295.89	295.26	295.98	295.25	296.08

Как видно из этой таблицы, частоты, вычисленные с помощью линеаризованных уравнений (5) и с помощью пакета Nastran, находятся в удовлетворительном соответствии между собой. Возникающие ошибки связаны, в первую очередь, с ошибками вычисления собственных мод колебаний в пакете Nastran и при увеличении числа узлов ошибка уменьшаются. Особенно это видно для мод 6,7,9, чьи частоты, вычисленные с помощью Nastran, уменьшаются (по сравнению с закрепленной пластиной).

При уменьшении массы системы такого происходить не должно (отдельная пластина эквивалентна системе, в которой основное тело спутника имеет бесконечную массу) [8]. Для иллюстрации на рис. 11-12 изображены моды колебаний, упомянутые в таблице 1. Рисунки 11 соответствуют модам отдельной пластины (столбец 2), а рисунки 12 – модам всего спутника целиком при угле поворота пластины $\varphi=0$ (столбец 3).

На рисунках 11 и 12 цветовая градация соответствует отклонению пластины от горизонтального положения. Недеформированное состояние показано темно-зеленым цветом. Нужно отметить, что нумерация мод на рис. 11 и 12 соответствует возрастанию собственной частоты и, например, моды 3 и 4 на рис. 11 соответствуют модам 4 и 3 на рис.12.

Заключение

В работе получена математическая модель спутника с деформируемым элементом на шарнирном соединении. Ее использование заметно снижает вычислительную нагрузку на компьютер за счет того, что нет необходимости проводить конечно-элементное моделирование для разных углов поворота в шарнире. Кроме того, деформируемый элемент моделируется отдельно и это снижает число узлов разбиения, участвующих в вычислении. В дальнейшем этот подход может быть использован для построения и верификации алгоритмов управления и идентификации углового движения спутников с деформируемыми элементами.

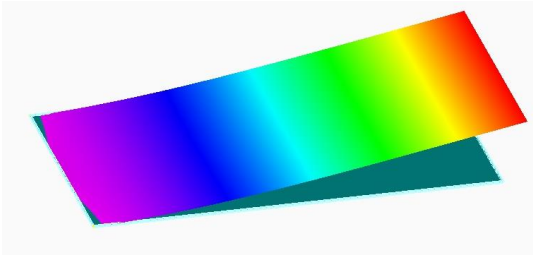


Рис. 11а. Мода 1 (5.2487 Hz)

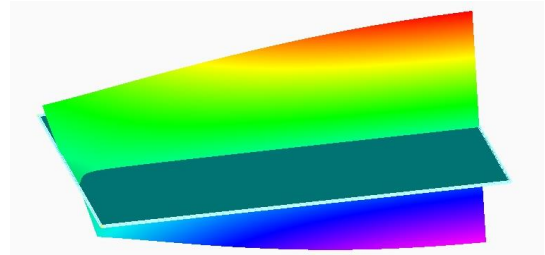


Рис. 11б. Мода 2 (32.057 Hz)

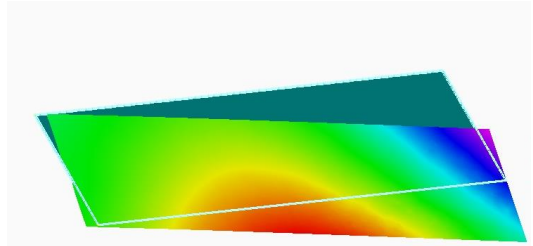


Рис. 11в. Мода 3 (33.256 Hz)

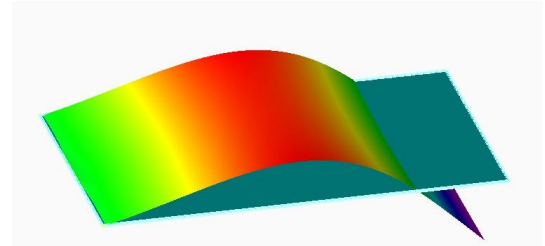


Рис. 11г. Мода 4 (34.485 Hz)

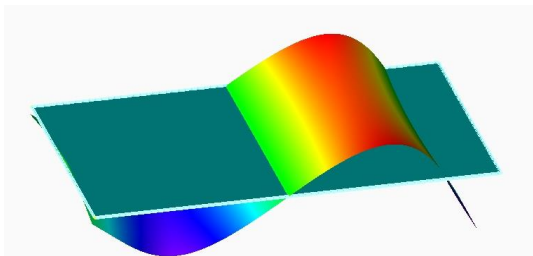


Рис. 11д. Мода 5 (98.195 Hz)

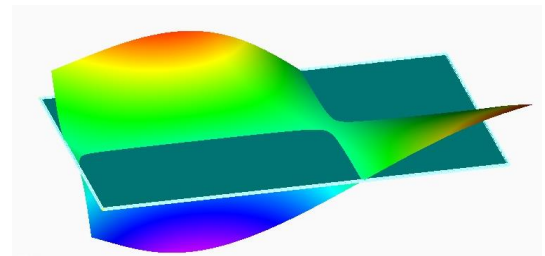


Рис. 11е. Мода 6 (100.90 Hz)

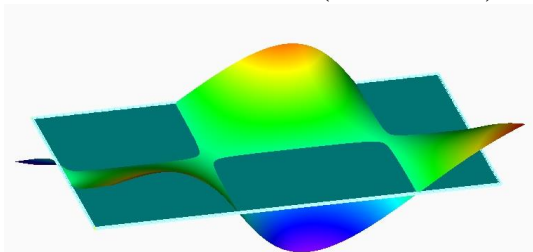


Рис. 11ж. Мода 7 (181.44 Hz)

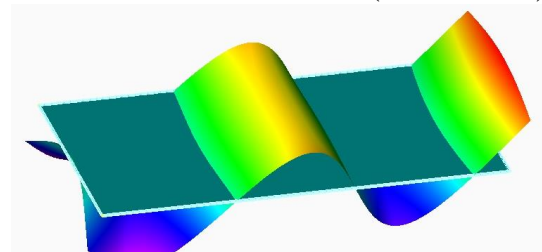


Рис. 11з. Мода 8 (190.81 Hz)

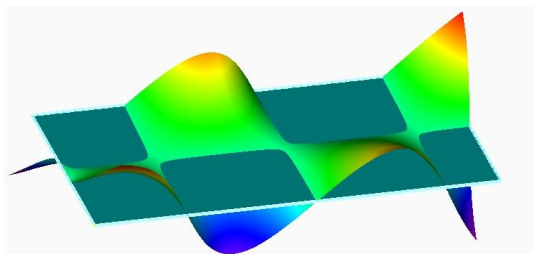


Рис. 11и. Мода 9 (277.50 Hz)

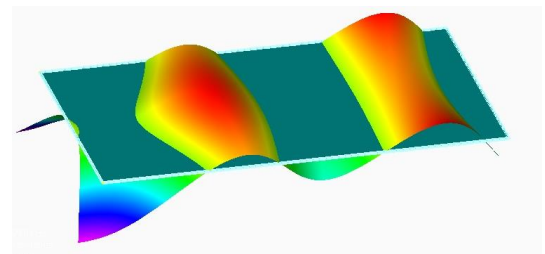


Рис. 11к. Мода 10 (294.77 Hz)

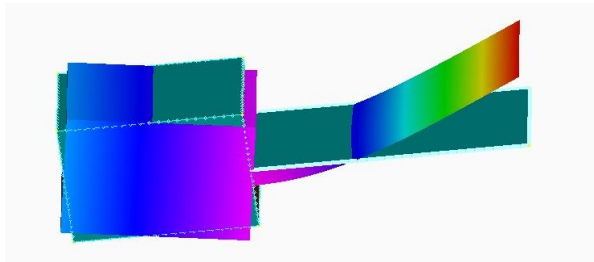


Рис 12а. Мода 1 (7.6310 Hz)

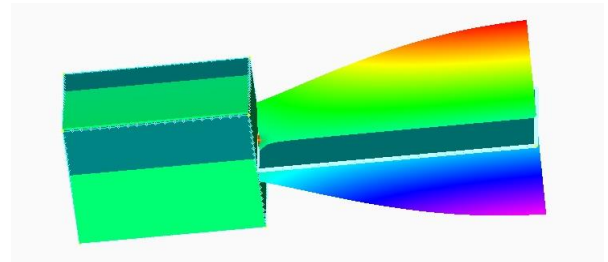


Рис 12б. Мода 2 (32.393 Hz)

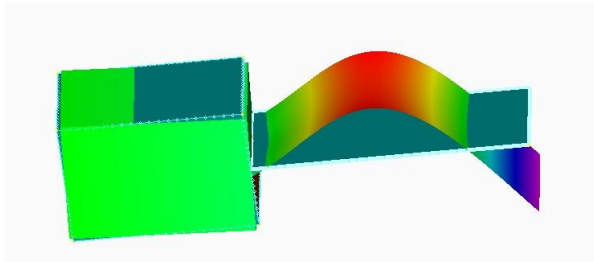


Рис 12в. Мода 3 (36.063 Hz)

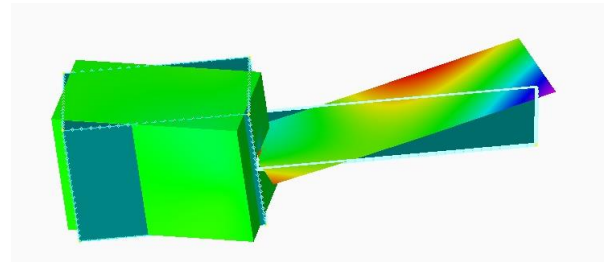


Рис 12г. Мода 4 (52.679 Hz)

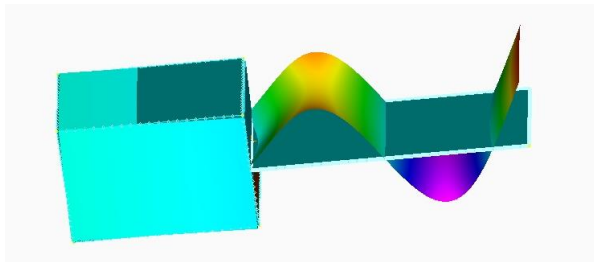


Рис 12д. Мода 5 (99.381 Hz)

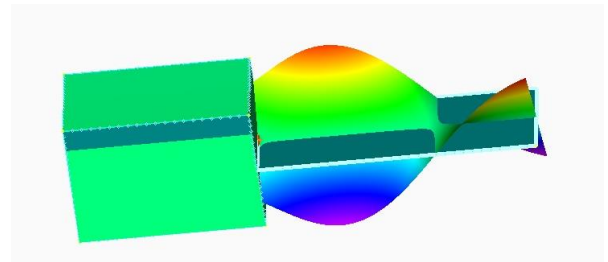


Рис 12е. Мода 6 (100.78 Hz)

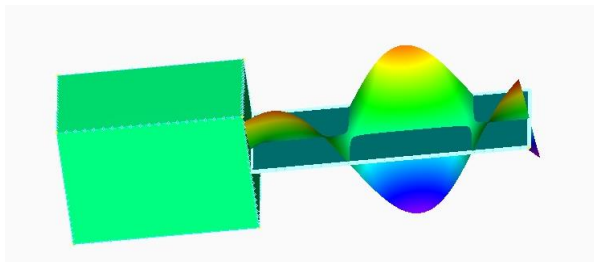


Рис 12ж. Мода 7 (181.11 Hz)

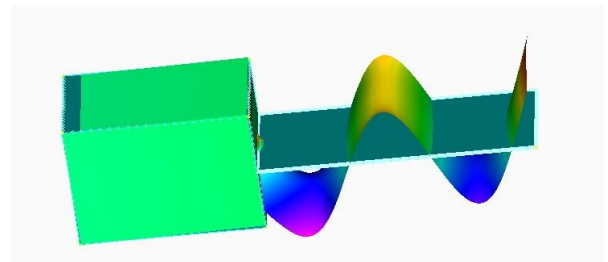


Рис 12з. Мода 8 (191.90 Hz)

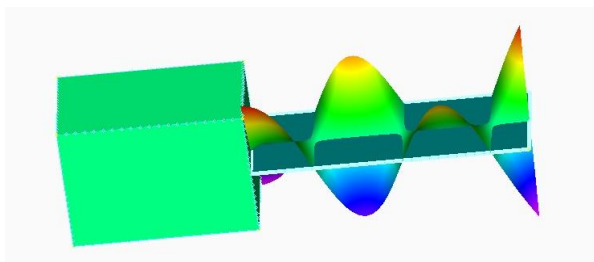


Рис 12и. Мода 9 (276.98 Hz)

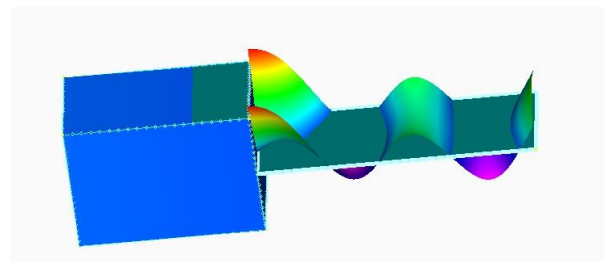


Рис 12к. Мода 10 (295.27 Hz)

Литература

1. Junkins J., Kim Y. Introduction to Dynamics and Control of Flexible Structures / Washington, DC: AIAA Education Series, AIAA, 1993. - 452 с.
2. Набиуллин М.К. Стационарные движения и устойчивость упругих спутников / Новосибирск: Наука, Сиб. отд-ние, 1990. - 216 с.
3. Meirovitch L., Quinn R.D. Equations of Motion for Maneuvering Flexible Spacecraft // J. Guid. Control. - 1987. - Т. 10. - № 5 . - С. 453–465.
4. Santini P., Gasbarri P. General background and approach to multibody dynamics for space applications // Acta Astronaut. - 2009. - Т. 64. - № 11-12 . - С. 1224–1251.
5. Титов Б.А., Вьюжанин В.А., Дмитриев В.В. Формирование динамических свойств упругих космических аппаратов. - М.: Машиностроение, 1995. - 304 с.
6. Ткачев С.С., Ролдугин Д.С., Овчинников М.Ю. Уравнения движения спутника с нежесткими элементами конструкции // Препринты ИПМ им. М.В. Келдыша. - 2015. - № 58 . - 20 с.
URL: <http://library.keldysh.ru/preprint.asp?id=2015-58>
7. MSC Nastran. URL: <http://www.mscsoftware.ru/products/nastran>.
8. Гантмахер Ф.Р. Теория Матриц.- М.: ФИЗМАТЛИТ, 2004. - 560 с.

Оглавление

Введение	3
Постановка задачи и системы координат	3
Модель движения	5
Верификация модели	8
Проверка выполнения законов сохранения.....	8
Сравнение собственных мод колебаний.....	11
Моделирование в среде Nastran	12
Заключение.....	15
Литература	18